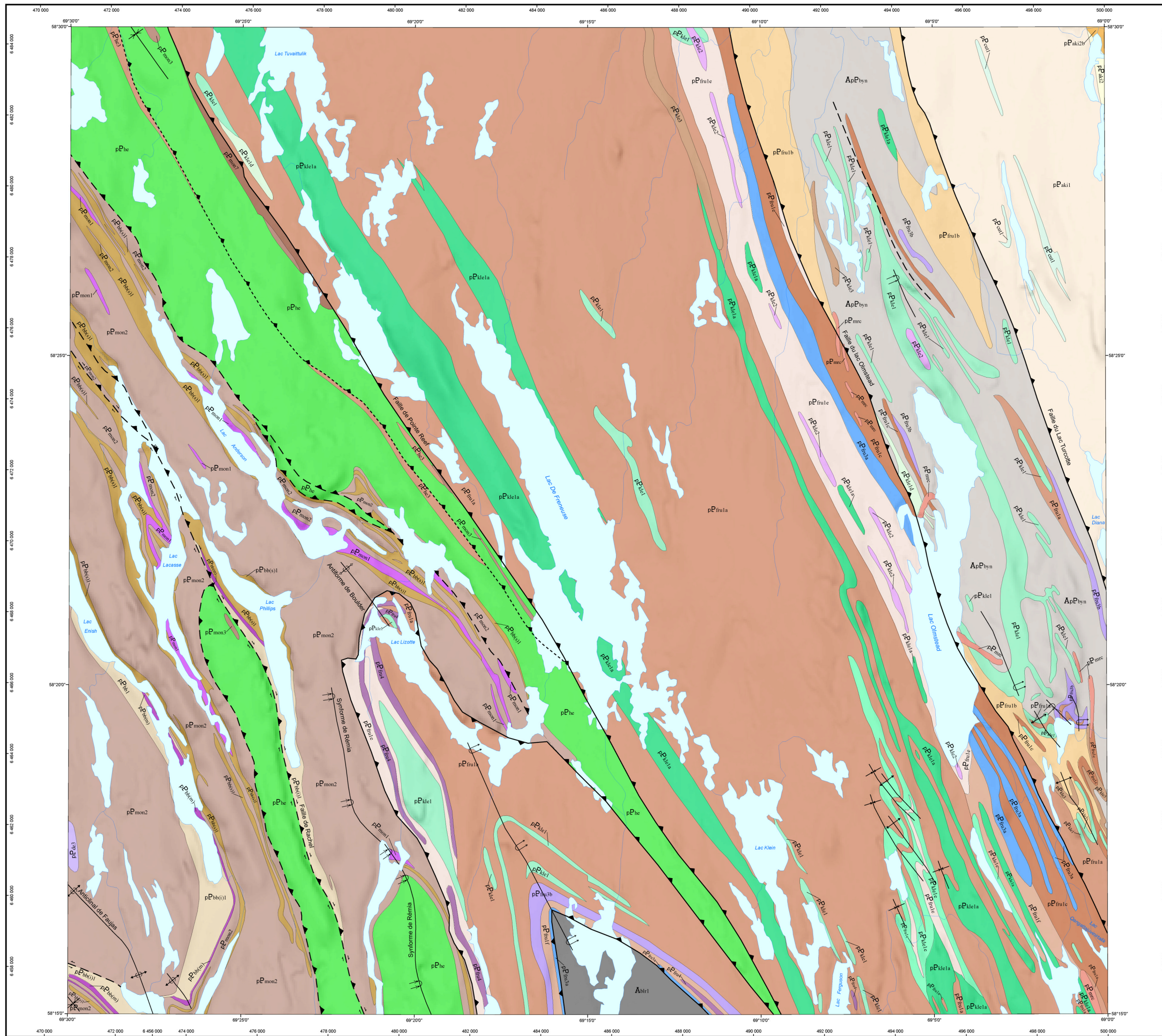


Géologie - LAC DE FRENEUSE

24K06



LÉGENDE STRATIGRAPHIQUE

OROGÈNE DU NOUVEAU-QUÉBEC

PALEOPROTEROZOÏQUE

Filons-couches de Montagnais

- pP_{me1} Métagabbro et amphibolite
- pP_{me2} Gabbro gloméroporphorique (taché), gabbro porphyrique
- pP_{me3} Gabbro aphyrique, gabbro à olivine aphyrique, gabbro aphyrique amphibolisé
- pP_{me4} Roches ultramafiques à serpentine, trémoïte-actinolite et magnétite

Supergroupe de Kanapisseau

Groupe de Koksoak

Formation d'Helancourt

- pP_{he} Non subdivisé : basalte massif, basalte coussiné, basalte porphyrique ou taché; un peu de brèche volcanique, de tuf mafique et de mudrock
- pP_{he1} Phyllade, schiste

Formation de Baby

- pP_{ba1} Mudrock, phyllade, schiste ardoisier

Formation de Baby supérieur

- pP_{ba2} Phyllade à chlorite et muscovite, schiste micacé à biotite et muscovite

Formation de Baby moyen

- pP_{ba3} Formation de fer : faciès silicaté, oxydé et sulfuré; schiste à grunérite; mudrock pyrique

Formation de Baby inférieur

- pP_{ba4} Phyllade, phyllade à chlorite et muscovite, schiste micacé à biotite et muscovite

Groupe d'Atlimagan

Formation de Denault

- pP_{de1} Dolomie, phyllade dolomitique, phyllade

FOSSÉ DU LABRADOR

ZONE DE RACHEL-LAPORTE

PALEOPROTEROZOÏQUE

Suite de Mercier

- pP_{mc} Granite pegmatitique blanchâtre à biotite, muscovite, tourmaline et grenat

Supersuite de Laporte

Suite de Freneuse (non datée)

- pP_{fr1} Formation de fer au faciès silicaté à amphibole, grenat, magnétite, quartz; schiste à grunérite; formation de fer au faciès oxydé schisteux à magnétite, interstitis de metachert
- pP_{fr2} Schiste à actinolite; roche calcosilicatée à actinolite, roche calcosilicatée à diopside, actinolite et epidote
- pP_{fr3} Marble, marte à trémoïte, marte à trémoïte et diopside, localement des interstitis de quartzite et de roches calco-silicatées à quartz et diopside
- pP_{fr4} Paraschiste à grenat et biotite avec amphibolite abondante
- pP_{fr5} Paraschiste à biotite et muscovite et paraschiste à quartzite avec amphibolite abondante
- pP_{fr6} Paraschiste et paragneiss à biotite, sillimanite à muscovite
- pP_{fr7} Paragneiss homogène à biotite-muscovite
- pP_{fr8} Paraschiste à biotite et muscovite, localement avec grenat; phyllade; localement avec des niveaux de quartzite et d'amphibolite

Suite de Klein (non datée)

- pP_{kl1} Métagabbro
- pP_{kl2} Roches ultramafiques
- pP_{kl3} Amphibolite à grain fin à moyen, schisteuse ou massive, d'origine intrusive (métagabbro) ou volcanique mafique
- pP_{kl4} Amphibolite avec un peu de micaschiste
- pP_{kl5} Métabasalte massif, localement métabasalte coussiné
- pP_{kl6} Amphibolite à grain fin, probablement d'origine volcanique mafique

ARCHÉEN À PALEOPROTEROZOÏQUE

Suite de Ballantyne (non datée)

- pP_{bl1} Gneiss à microcline, quartz et plagioclase, avec des proportions mineures de biotite et de muscovite; gneiss à quartz, biotite et plagioclase, variablement migmatitisés et possiblement d'origine sédimentaire

Complexe de Boulder (non datée)

- pP_{bu1} Gneiss granitique; un peu de gneiss tonalitique

ZONE NOYAU

PALEOPROTEROZOÏQUE

DOMAINE DE GABRIEL

Suite de Akasiarviup (non datée)

- pP_{ak1} Paragneiss et paraschistes à biotite à muscovite non migmatitisés
- pP_{ak2} Paragneiss et paraschistes à sillimanite et biotite
- pP_{ak3} Paragneiss à biotite migmatitisés

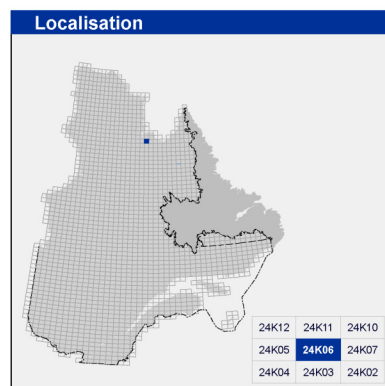
Suite de la rivière Curot (non datée)

- pP_{cu1} Amphibolites rubanées de granulométrie fine à moyenne, d'origine intrusive ou effusive

Les symboles et abréviations utilisés sur cette carte sont décrits dans la publication PRO 2000-08 du ministère des Ressources naturelles.

24K06

CG-24K06-2014-01



Métadonnées

Surface de référence géodésique : Ellipsoïde GRS 80
 Système de référence géodésique : NAD 83 compatible avec le système mondial WGS 84
 Projection cartographique : Mercator transverse universelle (MTU), fuseau 19
 Longitude d'origine : 69°15'
 Latitude d'origine : 0°

Sources

Données
 Base de données topographiques et administratives à l'échelle de 1:500 000 (BOTA 250k)

Organisme

Ministère des Ressources naturelles

Réalisation

Martin Simard, Isabelle Lafrance, Hanafi Hammouch et Claire Legoux (2011)
 Référence : Simard, M., Lafrance, I., Hammouch, H., Legoux, C. (2013) - RG 2013-04
 Assistance technique : Pierre-Thomas Poulin, Frédéric St-Pierre, Claude Guérin
 Compilations et modifications : Chantal Bloudeau (1998)
 (Fosse du Labrador) Thomas Clark (1998-2007-2013)-Joanne Nadeau (2007)
 Références : Avramitchev, L., Clark, T., Marcoux, P., Bélanger, M., Wilson, C. (1990) - DV 84-01
 Bergeron, R., Sauvé, P. (1965) - RG 104
 Clark, T., Wares, R. (2004) - MM2004-01
 Sauvé, P. (1969) - RP 332
 Sauvé, P. (1977) - RP 358
 Production : Ministère des Ressources naturelles
 Direction générale de Géologie Québec
 Diffusion : Ministère des Ressources naturelles
 Direction de l'information géologique du Québec

Pour obtenir les données les plus récentes concernant cette région, nous vous suggérons de consulter les produits géomatiques du Système d'information géomineur du Québec (SIGÉOM).

Le présent document n'a aucune portée légale
 © Gouvernement du Québec, 1^{er} trimestre 2014

